

Tentamen i TSKS10 Signaler, information och kommunikation

| | | |
|-------------------------|---|------------------------|
| Provkod: | TEN1 | |
| Tid: | 2017-06-02 | Kl: 14:00–19:00 |
| Lokal: | T1, T2, U1, U2 | |
| Lärare: | Mikael Olofsson, tel: 281343 | |
| Besöker salen: | 15 och 17 | |
| Administratör: | Carina Lindström, 013-284423, carina.e.lindstrom@liu.se | |
| Institution: | ISY | |
| Hjälpmittel: | På del 1 tillåts inga hjälpmedel. På del 2 får följande användas: Erik G. Larsson, <i>Signals, Information and Communications</i> . Errata till 2014 års upplaga av ovanstående. Mikael Olofsson, <i>Tables and Formulas for Signal Theory</i> . Sune Söderkvist, <i>Formler & Tabeller</i> . Råde/Westergren, <i>Mathematics Handbook for Science and Engineers</i> (Beta). Physics Handbook Formelsamling Fourieranalys Lasse Alfredsson, <i>Formelsamling för Signaler & System</i> . | |
| Antal uppgifter: | 8 | |
| Bedömning: | Denna tentamen består av två delar. Del 1 består av frågor och lämnas in innan del 2 påbörjas. Del 2 består av problem som ska lösas. Del 1 ger maximalt 15 poäng och del 2 ger maximalt 35 poäng. Total maxpoäng är alltså 50 poäng. Betygsgränser: <ul style="list-style-type: none">• Betyg tre: 25 poäng,• Betyg fyra: 37 poäng,• Betyg fem: 44 poäng. Slarviga och svårlästa lösningar bedöms hårt, orimliga svar likaså. | |
| Lösningar: | Publiceras senast tre dagar efter tentamen på adress http://www.commsys.isy.liu.se/TSKS10 | |
| Resultat: | Tentamensresultat, inklusive skrivningspoäng, meddelas via det automatiska Ladok-utskicket du erhåller via e-post. Detta skickas ut till alla tenterande som är registrerade på kursen, när tentaresultat förts in i Ladok, vanligen runt 12 arbetsdagar efter tentamen. | |
| Tentavisning: | På ISYs expedition i hus B, korridor D, mellan ingångarna 27 och 29, alldeles invid Café Java, c:a två veckor efter tentan. | |

Del 1: Teorifrågor (15 poäng)

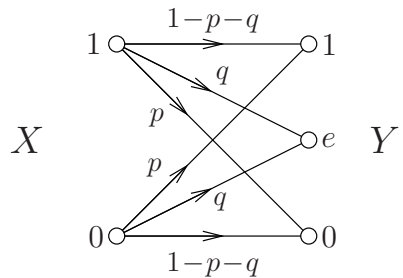
Lös först denna del och lämna in den till tentavakten innan du går vidare till del 2. Du får inte ha några hjälpmaterial till denna del.

- 1** Ge exempel på två kvantitativa bandbreddsmått. (4 p)
- 2** Hur fungerar direkt demodulation? Rita relevanta grafer. (5 p)
- 3** Vad menas med ”delay spread” och koherensbandbredd? Hur är de relativt erade? (6 p)

Del 2: Problemlösning (35 poäng)

När du har lämnat in del 1 till tentavakten kan du börja på denna del. Här får du använda alla hjälpmittel som listas på försättsbladet.

- 4** Figuren nedan visar övergångssannolikheterna mellan insignal och utsignal, för en diskret kanal som kan kallas en binärsymmetrisk fel- och suddningskanal, mellan dess insignal X och dess utsignal Y . Denna kanal har två möjliga insymboler, 0 och 1, och tre möjliga utsymboler, 0, e och 1. Utsymbolen e kan tolkas som en suddning. Successiva användningar av kanalen är oberoende.



- a. Bestäm kanalens kapacitet uttryckt i bitar per kanalanvändning. (6p)
 b. Bestäm de värden på p och q som gör det möjligt att kommunicera exakt felfritt över kanalen. Vad är kapaciteten då? (2p)
- 5** Låt $x_I(t)$ och $x_Q(t)$ vara basbandsrepresentationen av passbandssignalen $x(t)$ enligt ekvation 2.17 på sidan 28 i SIC. Låt vidare bärfrekvensen vara $f_c = 50$ Hz. Betrakta (8 p)

$$y(t) = x(t) \cos(20\pi t).$$

- a. Uttryck $y_I(t)$ och $y_Q(t)$ i $x_I(t)$ och $x_Q(t)$. (4p)
 b. Uttryck $\bar{y}(t)$ och $\phi_y(t)$ i $\bar{x}(t)$ och $\phi_x(t)$. (4p)

- 6** Betrakta figur 5.10 på sidan 97 i SIC, där PAM-blocket använder pulsformen (5 p)

$$p(t) = \text{sinc}(10t).$$

Kanalen har impulssvar

$$h(t) = 10\delta(t),$$

där $\delta(t)$ som vanligt är den tidskontinuerliga enhetsimpulsen. Slutligen är mottagarfiltret med impulssvar $\gamma(t)$ ett idealt LP-filter med gränsfrekvens 20 Hz. Bestäm alla värden på sampelperioden T_s , för vilka nyquistkriteriet är uppfyllt för denna kommunikationslänk.

- 7** Följande kod är avsedd för felrättning. Den är ett exempel på en s.k. simplexkod. Vi har nedan också angivit en avbildning från informationsbitarna till kodorden. (9 p)

| Info | | | Kodord | | | | | | |
|------|---|---|--------|---|---|---|---|---|---|
| 0 | 0 | 0 | 0 | 0 | 0 | 0 | 0 | 0 | 0 |
| 0 | 0 | 1 | 0 | 0 | 1 | 0 | 1 | 1 | 1 |
| 0 | 1 | 0 | 0 | 1 | 0 | 1 | 1 | 1 | 0 |
| 0 | 1 | 1 | 0 | 1 | 1 | 1 | 0 | 0 | 1 |
| 1 | 0 | 0 | 1 | 0 | 1 | 1 | 1 | 0 | 0 |
| 1 | 0 | 1 | 1 | 0 | 0 | 1 | 0 | 1 | 1 |
| 1 | 1 | 0 | 1 | 1 | 1 | 0 | 0 | 1 | 0 |
| 1 | 1 | 1 | 1 | 1 | 0 | 0 | 1 | 0 | 1 |

- a.** Bestäm kodens takt. (1 p)
- b.** Bestäm kodens förmåga att detektera respektive korrigera fel. (3 p)
- c.** Koden används för kommunikation över en binärsymmetrisk kanal med felsannolikhet ε . Ungefär hur ser sannolikheten för fel efter avkodningen ut? Beroendet av ε ska ges i storleksordning. (1 p)
- d.** Kan man ta bort en (samma) bit ur alla kodord utan att felrättningsförmågan försämras? Argumentera för ditt svar. (2 p)
- e.** Kan man ta bort en (samma) bit ur alla kodord utan att feldeterminationsförmågan försämras? Argumentera för ditt svar. (2 p)

- 8 I cellulär kommunikation kommunicerar användare via basstationer. Ett sätt att öka kapaciteten för ett sådant system i termer av antal användare per ytenhet är att öka antalet basstationer, dvs. placera dem tätare. Betrakta nu en situation där basstationerna är utplacerade enligt ett regelbundet mönster. Om vi ökar antalet basstationer per ytenhet med faktorn 4, men bibehåller mönstret skalat, så halveras cellernas radie. Alltså halveras det maximala avståndet mellan användare och närmsta basstation. (5 p)

För att kunna erbjuda samma förutsättningar för en användare på detta maximala avstånd, så räcker det att mottagen effekt är oförändrad.

- a. Hur mycket kan vi då minska sändareffekten per basstation och användare om vi har vägförlustexponenten $\gamma = 4$? Ge svar i dB.
Vi bortser här ifrån såväl storskalig som småskalig färdning och betraktar alltså endast sträckdämpningen. (3p)
- b. Ökar eller minskar då den totala utsända effekten om också antalet användare ökar med faktorn 4?
För enkelhets skull räknar vi med att samtliga användare befinner sig på detta maximala avstånd från närmaste basstation. (2p)

TSKS10 - liten ordlista

| <u>Engelska</u> | <u>Svenska</u> | <u>Sammanhang i kursen (om inte uppenbart)</u> |
|-----------------------------|----------------------------|--|
| aliasing | vikning | sampling/rekonstruktion |
| alphabet | alfabet | |
| ambiguity function | mångtydighetsfunktion | fördräjningsestimering |
| band-limited | bandbegränsad | signalrepresentation |
| bandpass | bandpass- | signalrepresentation |
| bandwidth | bandbredd | |
| bandwidth-limited regime | bandbreddsbepränsat område | kapacitet/LTI kanaler |
| baseband | basband | signalrepresentation |
| biased coin | skevt mynt | |
| binary channel | binär kanal | |
| binary digit | binär siffra | |
| binary symmetric channel | binär-symmetrisk kanal | |
| bit | bit | |
| capacity | kapacitet | kodning/felrättning |
| carrier frequency | bärfrekvens | modulering |
| channel coding | kanalkodning | |
| channel state information | kanalkändedom | digital kommunikation |
| channel use | kanalanvändning | |
| code | kod | |
| codebook | kodbok | |
| codeword | kodord | kodning/felrättning |
| coherence bandwidth | koherensbandbredd | LTI kanaler |
| coherence interval | koherensintervall | LTI kanaler |
| coherence time | koherenstid | kanaler |
| conditional probability | betigad sannolikhet | i sannolikhetslära |
| conditioned on | betigat på | |
| constellation | konstellation | |
| converse theorem | omvändning | |
| convolution | faltning | LTI system |
| convolutional code | faltningsskod | kodning/felrättning |
| correlation | korrelation | |
| decoder | avkodare | kodning |
| degrees of freedom | frihetsgrader | signalrepresentation |
| delay spread | | LTI kanaler |
| demodulation | demodulering | |
| dimensionality | dimensionalitet | signalrepresentation |
| discrete memoryless channel | diskret minneslös kanal | |
| diversity | diversitet | |
| downconversion | nedblandning | modulering |
| downsampling | nedsampling (decimering) | |
| encoder | kodare | kodning |
| entropy | entropi | |
| envelope | envelop | signalrepresentation |
| erasure channel | suddkanal | kodning |
| equalization | utjämning | digital kommunikation |
| error floor | felgolv | |
| error probability | felsannolikhet | |
| error protection | felskydd | |
| expected value | väntevärde | |
| fading | fädning | trådlösa kanaler |
| fair coin | plant mynt | |
| frequency flat | frekvens-flat | LTI kanaler |
| frequency response | frekvenssvar | LTI system |
| frequency selective | frekvens-selektiv | LTI kanaler |
| Gaussian noise | gaussiskt brus | |
| ghost peak | spöktopp | fördräjningsestimering |
| Hamming distance | hammingavstånd | kodning/felrättning |
| impedance | impedans | kablar |
| impulse response | impulssvar | LTI system |

| | | |
|---------------------------------|------------------------------------|-----------------------|
| inphase/quadrature | | |
| large-scale fading | storskalig fädning | trådlösa kanaler |
| load | last | kablar |
| lossless compression | förlustfri kompression | |
| lossy compression | icke-förlustfri kompression | |
| low-density parity check | | |
| lowpass | lägpass- | signalrepresentation |
| matched load | anpassad last | kablar |
| memoryless | minneslös | kanal |
| minimum distance | minimiavstånd | kodning/felrättning |
| mismatched load | missanpassad last | kablar |
| modulation | modulering | |
| modulation | modulation | |
| multipath propagation | flervägsutbredning | trådlösa kanaler |
| mutual information | ömsesidig information | kodning/felrättning |
| narrowband | smalbandig | signalrepresentation |
| noise | brus | |
| parity check | paritetsskontroll | kodning/felrättning |
| path loss | sträckdämpning | trådlösa kanaler |
| phase | fas | signalrepresentation |
| phase modulation | fasmodulering | |
| phase-shift keying | | |
| pilot waveform | pilot(-vågform) | digital kommunikation |
| power-limited regime | effektbegränsat område | kapacitet/LTI kanaler |
| probability | sannolikhet | |
| probability density function | täthetsfunktion | |
| probability mass function | | |
| propagation loss | utbredningsförlust | trådlösa kanaler |
| pulse-amplitude modulation | pulsamplitudmodulering | |
| pulse code modulation | pulskodmodulering | datakompression |
| quadrature amplitude modulation | kvadraturamplitudmodulering | |
| quantization | kvantisering | |
| random variable | slumpvariabel, stokastisk variabel | |
| rate | takt | kodning/felrättning |
| redundancy | redundans | kodning/felrättning |
| repetition code | repetitionskod | kodning/felrättning |
| reverse link | | digital kommunikation |
| runlength coding | skurlängdkodning | datakompression |
| sampling theorem | samplingsteorem | |
| shadow fading | skuggfädning | trådlösa kanaler |
| signal-to-noise ratio | signal-till-brus-förhållande | |
| small-scale fading | småskalig fädning | trådlösa kanaler |
| source | källa | |
| source coding | källkodning | |
| spectral efficiency | spektraleffektivitet | digital kommunikation |
| standard deviation | standardavvikelse | |
| string | sträng | |
| symbol | symbol | |
| symbol rate | symboltakt | |
| synchronization | synkronisering | digital kommunikation |
| thermal noise | termiskt brus | |
| time constant | tidskonstant | LTI system |
| time-delay | (tids)fördräjning | |
| time-delay estimation | fördräjningsestimering | |
| time-limited | tidsbegränsad | signalrepresentation |
| transmission line | | |
| upsampling | uppsampling | |
| variance | varians | |
| waveform | vågform | |
| white noise | vitt brus | |
| wired | trådbunden | |
| wireless | trådlös | |

Some Handy Formulas

Trigonometric Identities

$$\begin{aligned}
\cos^2(x) + \sin^2(x) &= 1 \\
\sin(x+y) &= \sin(x)\cos(y) + \cos(x)\sin(y) \\
\cos(x+y) &= \cos(x)\cos(y) - \sin(x)\sin(y) \\
\sin(2x) &= 2\sin(x)\cos(x) \\
\cos(2x) &= \cos^2(x) - \sin^2(x) = 1 - 2\sin^2(x) = 2\cos^2(x) - 1 \\
\sin(x)\cos(y) &= \frac{1}{2}(\sin(x+y) + \sin(x-y)) \\
\sin(x)\sin(y) &= \frac{1}{2}(\cos(x-y) - \cos(x+y)) \\
\cos(x)\cos(y) &= \frac{1}{2}(\cos(x+y) + \cos(x-y))
\end{aligned}$$

Fourier Transform

- Suppose $x(t)$ and $X(f)$ constitute a Fourier transform pair,

$$\begin{aligned}
X(f) = \mathcal{F}\{x(t)\} &= \int_{-\infty}^{\infty} x(t)e^{-j2\pi ft} dt, \quad \text{and} \\
x(t) = \mathcal{F}^{-1}\{X(f)\} &= \int_{-\infty}^{\infty} X(f)e^{j2\pi ft} df.
\end{aligned}$$

Then

$$\begin{aligned}
\mathcal{F}\{x(-t)\} &= X(-f) \\
\mathcal{F}\{x(at)\} &= \frac{1}{a}X\left(\frac{f}{a}\right), \quad a > 0 \\
\mathcal{F}\{x(t-T)\} &= e^{-j2\pi fT}X(f) \\
\mathcal{F}\{x(t)\cos(2\pi f_c t)\} &= \frac{1}{2}(X(f-f_c) + X(f+f_c)) \\
\mathcal{F}\{x(t)\sin(2\pi f_c t)\} &= \frac{1}{2j}(X(f-f_c) - X(f+f_c))
\end{aligned}$$

- If $X_1(f) = \mathcal{F}\{x_1(t)\}$ and $X_2(f) = \mathcal{F}\{x_2(t)\}$ are two Fourier transform pairs, then

$$\begin{aligned}\mathcal{F}\{(x_1 * x_2)(t)\} &= X_1(f)X_2(f) \\ \mathcal{F}\{x_1(t)x_2(t)\} &= (X_1 * X_2)(f) \\ \int_{-\infty}^{\infty} x_1(t)x_2^*(t) dt &= \int_{-\infty}^{\infty} X_1(f)X_2^*(f) df\end{aligned}$$

- Some basic transform pairs:

$$\begin{aligned}x(t) = \cos(2\pi f_c t) &\Leftrightarrow X(f) = \frac{1}{2}(\delta(f - f_c) + \delta(f + f_c)) \\ x(t) = \sin(2\pi f_c t) &\Leftrightarrow X(f) = \frac{1}{2j}(\delta(f - f_c) - \delta(f + f_c)) \\ x(t) = \text{sinc}(t) &\Leftrightarrow X(f) = \begin{cases} 1, & |f| \leq \frac{1}{2} \\ 0, & \text{otherwise} \end{cases} \\ x(t) = \begin{cases} 1, & |t| \leq \frac{1}{2} \\ 0, & \text{otherwise} \end{cases} &\Leftrightarrow X(f) = \text{sinc}(f) \\ x(t) = e^{-|t|} &\Leftrightarrow X(f) = \frac{2}{1 + 4\pi^2 f^2} \\ x(t) = \begin{cases} e^{-t}, & t \geq 0 \\ 0, & \text{otherwise} \end{cases} &\Leftrightarrow X(f) = \frac{1}{1 + j2\pi f} \\ x(t) = \frac{1}{1 + t^2} &\Leftrightarrow X(f) = \pi e^{-2\pi|f|}\end{aligned}$$

Some Useful Numerical Approximations

$$\begin{array}{llll}2^{1.44} \approx e \approx 2.72 & 2^{1.59} \approx 3 & 2^{2.59} \approx 6 & 2^{6.64} \approx 100 \\ e^{2.3} \approx 10 & \pi^2 \approx 10 & \sqrt{3} \approx 1.73 & 3^{1/3} \approx 1.44\end{array}$$

TSKS10 Signaler, information och kommunikation

Lösningar till tentan 2017-06-02

Mikael Olofsson, mikael.olofsson@liu.se

Del 1: Teorifrågor (15 poäng)

1

Se avsnitt 2.1.3 på sidorna 25-26 i SIC (2017).

2

Se avsnitt 2.2.1 på sidorna 27-28 i SIC (2017).

3

Se avsnitt 8.1.2 på sidorna 192-195 i SIC (2017).

Vad vi har kvar att bestämma är $I(X;Y)$ för det fallet. vi har (Ekv. 6.31)

$$I(X;Y) = H(Y) - H(Y|X).$$

Vi vill alltså bestämma entropierna $H(Y)$ och $H(Y|X)$. För att bestämma $H(Y)$ behöver vi $p_Y(y)$, som ges av

$$\begin{aligned} p_Y(y) &= \sum_x p_X(x)p_{Y|X}(y|x) \\ &= \begin{cases} \frac{1}{2}(1-q), & y \in \{0,1\}, \\ q, & y = e. \end{cases} \end{aligned}$$

Del 2: Problemlösning (35 poäng)

4

Vi använder beteckningarna

$$p_X(x) = \Pr\{X=x\},$$

$$p_Y(y) = \Pr\{Y=y\},$$

$$p_{Y|X}(y|x) = \Pr\{Y=y|X=x\}.$$

För den givna kanalen har vi

$$p_{Y|X}(y|x) = \begin{cases} 1-p-q, & x = y \in \{0,1\}, \\ q, & y = e, \\ p, & \text{för övrigt.} \end{cases}$$

a. Vi vill bestämma kanalens kapacitet,

$$C = \max I(X;Y),$$

där $I(X;Y)$ är den ömsesidiga informationen av X och Y , och där maximeringen är över alla fördelningar av X . Av kanalens symmetri drar vi slutsatsen att $I(X;Y)$ maximeras av en symmetrisk fördelning av X , alltså

$$p_X(0) = p_X(1) = 1/2.$$

Då får vi

$$\begin{aligned} H(Y) &= -p_Y(0)\log_2(p_Y(0)) - p_Y(1)\log_2(p_Y(1)) \\ &\quad - p_Y(e)\log_2(p_Y(e)) \\ &= -(1-q)\log_2\left(\frac{1}{2}(1-q)\right) - q\log_2(q). \end{aligned}$$

Den betingade entropin ges av (Ekv 6.32)

$$H(Y|X) = \sum_x p_X(x)H(Y|X=x),$$

där vi har

$$\begin{aligned} H(Y|X=x) &= - \sum_y p_{Y|X}(y|x) \\ &= -p_{Y|X}(0|x)\log_2(p_{Y|X}(0|x)) \\ &\quad - p_{Y|X}(1|x)\log_2(p_{Y|X}(1|x)) \\ &\quad - p_{Y|X}(e|x)\log_2(p_{Y|X}(e|x)) \\ &= -(1-p-q)\log_2(1-p-q) \\ &\quad - p\log_2(p) - q\log_2(q) \end{aligned}$$

vilket resulterar i

$$\begin{aligned} H(Y|X) &= \\ &= -(1-p-q)\log_2(1-p-q) - p\log_2(p) - q\log_2(q). \end{aligned}$$

Alltså ges den ömsesidiga informationen av

$$\begin{aligned} I(X;Y) &= H(Y) - H(Y|X) = \\ &= -(1-q)\log_2\left(\frac{1}{2}(1-q)\right) - q\log_2(q) \\ &\quad - \left(-(1-p-q)\log_2(1-p-q) - p\log_2(p) - q\log_2(q)\right) \\ &= (1-p-q)\log_2(1-p-q) + p\log_2(p) \\ &\quad - (1-q)\log_2\left(\frac{1}{2}(1-q)\right). \end{aligned}$$

- b.** För att kunna kommunicera felfritt måste vi ha en situation då sända symboler resulterar i mottagna symboler enligt ett ett-till-ett-förhållande eller enligt ett ett-till-flera-förhållande. Då kan vi från mottagna symboler med säkerhet säga vilka de sända symbolerna var. Det uppfyller vi endast om vi har $(p,q) = (0,0)$ eller $(p,q) = (1,0)$. I båda de fallen har vi en felfri binär kanal. Kapaciteten blir då förstås $C = 1$ bit per kanalanvändning.

Not: Om du inte köper resonemanget att den ömsesidiga informationen maximeras av den symmetriska fördelningen baserat på observationen att kanalen är symmetrisk, så kan du låta $p_X(0) = p_0$, vilket inte påverkar $H(Y|X)$. Vad det gör, dock, är att det påverkar $H(Y)$. Uttryck $p_Y(y)$ i p_0 och bestäm $H(Y)$ uttryckt i p_0 . Slutligen, studera derivatan av den ömsesidiga informationen med avseende på p_0 , sätt lika med noll, och bestäm p_0 därifrån. Du finner då att $p_0 = 1/2$ maximerar $H(Y)$.

Svar:

- a. $C = (1-p-q)\log_2(1-p-q) + p\log_2(p) - (1-q)\log_2\left(\frac{1}{2}(1-q)\right)$.
- b. $(p,q) = (0,0)$ respektive $(p,q) = (1,0)$, med $C = 1$.

5

Detta är uppgift 2-12 i SIC (2017). Se därför lösningsförslaget för den uppgiften i kursmaterialet.

Svar: —

6

Givet är, med notation från figur 5.10 på sidan 97 i SIC (2017),

$$\begin{aligned} p(t) &= \text{sinc}(10t), \\ h(t) &= 10\delta(t). \end{aligned}$$

Låt $P(f)$ och $H(f)$ vara motsvarande frekvensssvar. Med hjälp av t.ex. fouriertransformtabellen på sidorna 18-19 i Tables and Formulas for Signal Theory, så ser vi att vi har

$$P(f) = \begin{cases} 1/10, & |f| < 5 \text{ Hz}, \\ 0, & \text{för övrigt}. \end{cases}$$

Vidare enligt uppgiftsformuleringen, så är mottagarfiltret med impulssvar $\gamma(t)$ ett idealt LP-filter med gränsfrekvens 20 Hz. Alltså har det filtret frekvensssvar

$$\begin{aligned} \Gamma(f) &= \begin{cases} 1, & |f| < 20 \text{ Hz}, \\ 0, & \text{för övrigt}, \end{cases} \\ H(f) &= 1. \end{aligned}$$

Med samma notation som i SIC, så inför vi den resulterande pulsformens fouriertransform

$$R(f) = H(f)\Gamma(f)P(f) = \begin{cases} 1, & |f| < 5 \text{ Hz}, \\ 0, & \text{för övrigt}. \end{cases}$$

Med hjälp av t.ex. fouriertransformtabellen på sidan 19 i Tables and Formulas for Signal Theory, så ser vi att vi har motsvarande pulsform

$$r(t) = 10 \text{sinc}(10t)$$

Vi är nu intresserade av den samplade versionen av $r(t)$, dvs.

$$\tilde{r}[n] = r(nT_s),$$

där T_s är sampelperioden som vi vill bestämma. Enligt ekvation 5.38 på sidan 100 i SIC (2017), så ska då

$$\tilde{r}[n] = r(nT_s) = A\delta[n]$$

gälla, där A är någon nollskild reell konstant, och där $\delta[n]$ är den tidsdiskreta enhetsimpulsen. Vi måste alltså se till att samplingen för alla nollskilda heltal n hamnar i en nollgenomgång för $r(t)$. Det är uppfyllt om vi har $T_s = K/10$ [s], där K är ett positivt heltal.

Svar: $T_s = K/10$, där K är ett positivt heltal.

7

Vi är givna följande kod och avbildning av informationsbitar på kodord:

| Info | | | Kodord | | | | | | |
|------|---|---|--------|---|---|---|---|---|---|
| 0 | 0 | 0 | 0 | 0 | 0 | 0 | 0 | 0 | 0 |
| 0 | 0 | 1 | 0 | 0 | 1 | 0 | 1 | 1 | 1 |
| 0 | 1 | 0 | 0 | 1 | 0 | 1 | 1 | 1 | 0 |
| 0 | 1 | 1 | 0 | 1 | 1 | 1 | 0 | 0 | 1 |
| 1 | 0 | 0 | 1 | 0 | 1 | 1 | 1 | 0 | 0 |
| 1 | 0 | 1 | 1 | 0 | 0 | 1 | 0 | 1 | 1 |
| 1 | 1 | 0 | 1 | 1 | 1 | 0 | 0 | 1 | 0 |
| 1 | 1 | 1 | 1 | 1 | 0 | 0 | 1 | 0 | 1 |

- a. Kodordslängden är $N = 7$ bitar och kodens storlek är $M = 8$ kodord. Kodens takt ges av ekvation 7.6 på sidan 144 i SIC (2017). Vi har alltså takten

$$R = \frac{\log_2(M)}{N} = \frac{3}{7}$$

- b. Kodens förmåga att detektera och korrigera fel bestäms av dess minavstånd. Genom att jämföra kodorden med varandra, så ser vi att inga par av kodord skiljer sig åt i mindre än fyra positioner, och det finns par av kodord som skiljer sig åt i exakt fyra positioner, exempelvis 0000000 och 0010111. Minavståndet är alltså $d_{\min} = 4$. Feldetekteringsförmågan v och felsannolikhetsförmågan t ges då av

$$v = d_{\min} - 1 = 3, \quad t = \left\lfloor \frac{d_{\min} - 1}{2} \right\rfloor = 1.$$

- c. Felsannolikheten P_e är i storleksordning

$$P_e \sim \varepsilon^{\lceil d_{\min}/2 \rceil} = \varepsilon^2,$$

enligt ekvation 7.15 på sidan 147 i SIC (2017).

- d. Oavsett vilken position vi väljer att ta bort, så minskas minavståndet till $d_{\min} = 3$. Felsannolikhetsförmågan blir då fortfarande

$$t = \left\lfloor \frac{d_{\min} - 1}{2} \right\rfloor = 1.$$

Alltså kan vi ta bort en position i koden, utan att felsannolikhetsförmågan ändras.

- e. Vi har notera att om vi tar bort en position i koden, så minskas minavståndet till $d_{\min} = 3$, oavsett vilken position vi väljer. Feldetekteringsförmågan blir då

$$v = d_{\min} - 1 = 2,$$

Alltså kan vi inte ta bort en position i koden, utan att felsannolikhetsförmågan ändras.

Svar:

- a. Takt $R = 3/7$
- b. Feldetekteringsförmåga: $v = 3$
Felsannolikhetsförmåga: $t = 1$
- c. Felsannolikhet $P_e \sim \varepsilon^2$.
- d. Ja, man kan ta bort en position utan att felsannolikhetsförmågan ändras.
e. Nej, man kan inte ta bort en position utan att feldetekteringsförmågan ändras.

8

Detta handlar om sträckdämpning. Vi har markbunden radiokommunikation över ett okänt avstånd, säg r .

- a. Vi frågar oss hur mycket sändareffekten per basstation och användare kan minskas om vi halverar detta avstånd och kräver att mottagen effekt är oförändrad. Enligt uppgiftsformuleringen ska vi endast betrakta sträckdämpning med vägförlustexponenten $\gamma = 4$.

Enligt ekvation 9.28 på sidan 215 i SIC (2017) så ges den mottagna effekten P_{RX} av

$$P_{RX} = K(r/r_0)^{-\gamma} P_{TX}, \quad (1)$$

för någon konstant K , där r är gångvägen, r_0 är en referensgångväg, och P_{TX} är sänd effekt.

Låt nu $r' = r/2$ och P'_{TX} vara det nya avståndet respektive den nya sändareffekten. Då får vi enligt uppgiftsformuleringen också

$$P_{RX} = K(r'/r_0)^{-\gamma} P'_{TX}. \quad (2)$$

Likställer vi nu ekvationerna 1 och 2, så finner vi att vi har

$$P'_{TX} = (r/r')^{-\gamma} P_{TX} = 2^{-4} P_{TX}$$

Sändareffekten kan alltså skalas med faktorn 2^{-4} , vilket i dB blir

$$\begin{aligned} (2^{-4})_{dB} &= 10 \cdot \log_10(2^{-4}) = -4 \cdot 10 \cdot \log_10(2) \\ &\approx -12 \text{ dB}. \end{aligned}$$

- b. Nu vill vi avgöra om den totala utsända effekten ökar eller minskar om också antalet användare ökar med faktorn 4. Enligt uppgiftsformuleringen ska vi räkna med att samtliga användare befinner sig på avståndet r' från närmaste basstation. Detta handlar helt enkelt om att alla förutsätts behöva samma sänd effekt. Om antalet användare ökar med faktorn 4, så har vi att jämföra $4P'_{TX}$ med P_{TX} . Vi har

$$4P'_{TX} = 4 \cdot 2^{-4} P_{TX} = 2^{-2} P_{TX}.$$

Den totala utsända effekten skalas alltså med faktorn 2^{-2} . Slutsatsen är alltså att den totala utsända effekten minskar.

Not: Detta är en mycket förenklad bild. Kommunikationen för en användare störs även av kommunikationen för andra användare. Denna störning är också utsatt för samma vägförlustexponent. Då avstånden mellan användarna också halveras, behöver även denna störning tas med i beräkningen. Vidare är det en grov förenkling att alla användarna finns på samma avstånd från sin basstation. Det är betydligt mera rimligt att anta att användarna är likformigt fördelade över ytan. Det är då inte säkert att samma mottagen effekt ger samma kvalité för en användare. Den analysen är betydligt mer komplicerad, och inte lämpad som en tentamensuppgift.

Svar:

- a. Sändareffekten per basstation och användare minskar med 12 dB.
- b. Den totala utsända effekten minskar.